

형상오차를 갖는 보울 베어링과 하우징의 끼워 맞춤에 따른 베어링 진동 및 수명의 영향

Bearing Vibration and Fatigue Life Analysis According to Fitting between Ball Bearing and Housing with Geometrical Errors

이영근† · 이석훈* · 정일권* · 차철환* · 한효섭**

Young-Keun Lee, Seok-Hoon Lee, Il-Kwon Jung, Cheol-Hwan Cha, and Hyo-Seup Han

Key Words : Roundness (진원도), Waviness(형상오차), Fitting (끼워맞춤), Bearing Fatigue Life (베어링 피로 수명), Bearing Vibration (베어링 진동), Hertzian Contact Theory (Hertz의 접촉이론)

ABSTRACT

Ball bearings which were fitted between housing and shaft play an important role in rotating shaft system smoothly. Therefore bearing's running accuracy has significant influence on that of rotating machinery. Manufacturing accuracy of bearings as well as that of shaft and housing is main factor to affect bearing running accuracy. In this paper, bearing's vibration and fatigue life considering raceway roundness of ball bearing before and after being fitted into housing are theoretically estimated. To perform analysis, a simple three degrees of freedom model was proposed and then these analysis was conducted utilizing the Newton-Raphson iterative method. The results show that vibration magnitude of ball bearing fitted into housing is considerably larger than before assembly, and bearing's theoretical L_{10} fatigue life that ninety percent of the bearing population will endure decreased in about fifty percent.

1. 서 론

볼 베어링은 내륜, 외륜, 보울, 케이지 및 시일로 구성되어 있고, 각각의 볼은 내륜 및 외륜과의 접촉으로 강성이 발생하여 회전체를 지지하게 된다. 베어링은 회전체의 원활한 회전을 담당하는 역할뿐만 아니라, 베어링의 궤도면과 볼의 기하학적인 불완전성(waviness)으로 인해 가진원의 역할도하게 된다. 이러한 가진원의 영향은 베어링이 하우징 및 축에 얹기워맞춤 되었을 때 더욱더 심각하다.

보통 베어링 궤도면의 진원도는 수 μm 으로 가공되는 반면에 하우징 내경의 진원도는 수십에서 수백 μm 로 가공된다. 만약 볼 베어링이 하우징에 얹기워맞춤 된다면 베어링 궤도면의 진원도는 하우징 내경의 진원도 영향을 고스란히 받게 된다. 이에 따라 베어링 자체의 정밀도가 아무리 좋다 할지라도, 주변 부품들의 정밀도가 뒷받침 되어지지 않는다면 베어링 및 축 시스템의 회전 정밀도는 그만큼 저하된다. 이것은 베어링의 피로수명과도 연관되어져 베어링의 수명 저하를 야기하게 된다. 그동안 국내외에서는 진원도의 형상과 상응하는 베어링 궤도의 waviness를 임의의 정현(sine)과 여현(cosine) 함수로 단순화하여 그로 인해 야기된 진동성분을 규명한 많은 연구들이 보고된 바 있다^{(3)~(11)}. 하지만 베어링이 주변부품과의 장착에 의해 궤도면이 변형된 영향을 고려하여 실제로 베어링

† FAG 베어링 코리아(유) 연구소
E-mail : youngkeun.lee@kr.fag.com
Tel : (05) 260-8943, Fax : (05) 260-8970

* FAG 베어링 코리아(유)

** FAG 베어링 코리아(유) 연구소장

진동과 피로수명에 어떠한 영향이 있는지 고찰한 연구는 찾아보기 힘들다. 본 연구에서는 베어링이 하우징과 얹지 끼워맞춤 되었을 때를 전, 후로 하여 베어링 케도륜의 진원도 형상을 측정하였으며, 측정된 진원도 형상을 수학적 모델이 가능하도록 하기 위하여, 수치적 방법을 통해 waviness의 차수별 크기와 위상을 도출하였다. 도출된 waviness 형상을 Newton-Raphson iterative method 방법을 이용한 3자유도 진동해석 프로그램에 적용함으로서, 베어링 케도의 변형에 따른 베어링 진동을 예측하였으며 또한 90% 신뢰도를 갖는 베어링 피로수명(L_{10})의 영향을 평가하였다.

2. 베어링의 진동 해석 이론

2.1 Waviness에 의한 강성해석

각각의 볼은 케도륜과의 탄성접촉으로 구름운동을 하게 된다. 이때 볼은 회전하면서 지속적으로 케도륜과의 변하는 접촉력과 접촉각을 갖게 된다. 이것은 베어링의 하중조건과 더불어 볼 베어링의 구성요소가 이상적인 조건이 아닌, 제조상의 결함이라고 볼 수 있는 waviness를 갖고 있기 때문이다. 그러므로 식(1)에서 δ_k 와 C_k 는 k 번째 볼의 위치에 따라 변하게 된다. 이에 따라 내륜과 외륜의 곡률반경 중심을 포함하여 탄성 변형을 표현할 수 있는 좌표계를 Fig. 1과 같이 도입할 수 있다.⁽⁹⁾

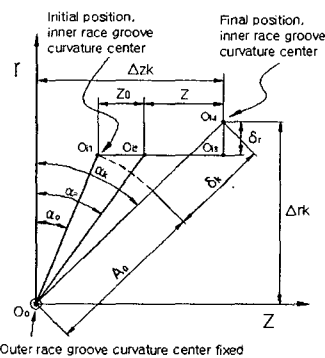


Fig. 1 Positions of raceway groove curvature centers at angular position α .

즉, 접촉각 방향으로 k 번째 볼의 내, 외륜에 작용하는 힘 P_k 와 변형량 δ_k 은 다음과 같은 관계가 성립한다.

$$P_k = C_k \delta_k^{3/2} \quad (1)$$

여기서, C_k 는 강성계수로서, 볼과 내륜 및 외륜의

접촉강성 K_i 및 K_o 에 의해 다음과 같이 구해진다.

$$C_k = \left[\frac{1}{(\frac{1}{K_i})^{2/3} + (\frac{1}{K_o})^{2/3}} \right]^{3/2} \quad (2)$$

Fig. 1에서 Z축과 r 축은 각각 축방향과 경방향의 좌표축을 의미한다. 깊은홈 볼 베어링의 경방향 톰 새로 인해 자유접촉각 α_0 는 발생한다. 축방향 하중에 의해 초기 내륜 곡률 중심은 O_i 에서 O_p 로 이동하게 되며, 접촉각은 α_p 로서 모든 볼이 같은 접촉각을 갖게 된다. 하지만 경방향 하중과 더불어 볼과 케도륜의 waviness로 인하여 볼이 회전하면서 접촉각 α_p 는 모든 볼에 대해 일정하지 않고 볼의 위치에 따라 변하게 된다. 즉, 축방향으로는 O_p 에서 O_b 로 변하고, 경방향으로는 O_b 에서 O_a 로 변하게 된다. Fig. 1의 기하학적인 조건에 따라 축방향 성분 Δ_{zk} 및 경방향 성분 Δ_{rk} 를 도입함으로서 볼의 탄성변형량 δ_k 와 변형후 접촉각 α_k 는 식(5)와 식(6)과 같이 간략하게 표현될 수 있다.

$$\Delta_{zk} = A_o \sin(\alpha_o) + z_o + z \quad (3)$$

$$\Delta_{rk} = \delta_r + A_o \cos(\alpha_o) \quad (4)$$

$$\delta_k = \sqrt{\Delta_{zk}^2 + \Delta_{rk}^2} - A_0 \quad (5)$$

$$\alpha_k = \tan^{-1} \frac{\Delta_{zk}}{\Delta_{rk}} \quad (6)$$

케도륜과 볼에 waviness가 있을 경우에, 시간에 따른 볼의 위치에 따라 내륜과 외륜의 초기 곡률 중심거리 A_0 는 A 로 변하게 된다. 이와 같은 원리를 이용하여 볼 베어링 구성요소의 waviness 모델을 식(8)과 같이 케도 곡률반경과 볼 직경에 표현할 수 있다.

$$A_0 = r_i + r_o - D_k \quad (7)$$

$$A = r_i(\theta_k) + r_o(\theta_k) - D_k(w_b t) \quad (8)$$

여기서 r_i r_o 는 각각 내륜 및 외륜 곡률반경이고, D 는 볼 직경이며, waviness 모델은 다음과 같이 표현될 수 있다.

$$r_i(\theta_k) = r_i + \sum_{n=1}^N a_m \cos(n\theta_k + \phi_m) \quad (9)$$

$$r_o(\theta_k) = r_o + \sum_{n=1}^N a_{Rn} \cos(n(\theta_k - wt) + \phi_{Rn}) \quad (10)$$

$$D_k(w_b t) = D + \sum_{n=0}^N a_{bk} \left[\cos(nw_b t + \phi_{bk}) + \cos(n(w_b t + \pi) + \phi_{bk}) \right] \quad (11)$$

여기서, N 은 waviness 차수를 의미하며 a_{index} 와 ϕ_{index} 는 차수별 크기와 위상을 의미한다. 그리고 θ_k 와 w_k 는 시간의 변화에 따른 waviness의 위치각과 불의 자전속도를 의미한다.

2.2 비선형 힘평형 방정식

외력이 베어링 내륜에 작용한다면 보울과 궤도륜의 접촉력과 접촉각에 따라 각 방향은 힘평형이 이루어진다. 이것은 내재된 궤도륜의 waviness 표면과 임의시간에 위치하는 각각의 불과의 상호작용에 의해서 발생되는 힘과 탄성변형과의 평형을 의미한다. 베어링에 작용하는 외력과 더불어 불과 궤도륜의 waviness에 기인하여 발생되는 경방향 및 축방향의 평형 위치는 내륜이 회전하는 시간마다 변하게 된다. 그러므로 외력과 베어링 구성요소의 waviness를 고려한 힘평형 방정식은 다음과 같이 표현된다.

$$F_x = \sum_{k=1}^Z C_k \delta_k^{3/2} \cos \alpha_k \cos \theta_k \quad (12)$$

$$F_y = \sum_{k=1}^Z C_k \delta_k^{3/2} \cos \alpha_k \sin \theta_k \quad (13)$$

$$F_z = \sum_{k=1}^Z C_k \delta_k^{3/2} \sin \alpha_k \quad (14)$$

여기서, 첨자 x , y 는 경방향을 의미하고, z 는 축방향을 의미한다. 식(12)~(14)는 각 방향의 변위 x , y , z 에 관한 비선형 방정식이므로, 다음과 같이 Newton-Raphson법에 의하여 해를 구한다.

$$\begin{pmatrix} x \\ y \\ z \end{pmatrix}_{i+1} = \begin{pmatrix} x \\ y \\ z \end{pmatrix}_i - \begin{pmatrix} \frac{\partial F_x}{\partial x} & \frac{\partial F_x}{\partial y} & \frac{\partial F_x}{\partial z} \\ \frac{\partial F_y}{\partial x} & \frac{\partial F_y}{\partial y} & \frac{\partial F_y}{\partial z} \\ \frac{\partial F_z}{\partial x} & \frac{\partial F_z}{\partial y} & \frac{\partial F_z}{\partial z} \end{pmatrix}_i^{-1} \begin{pmatrix} F_x \\ F_y \\ F_z \end{pmatrix}_i \quad (15)$$

식(15)에서 구해진 각 방향의 변위는 내륜이 회전하는 시간동안 변화되는 내륜의 움직임을 의미한다. 즉, 시간에 따라 변형되는 x , y , z 방향의 내륜진동을 의미한다. 이러한 진동에 대해 FFT(Fast Fourier transform)를 취함으로서 주파수 영역으로 변환되어 베어링에서 생성되는 진동성분들을 파악할 수 있다.

3. 베어링의 피로수명

볼 베어링의 주된 파손 원인은 회전으로 인하여

볼과 궤도륜에 반복적으로 가해지는 하중에 의한 재료의 파로 파괴이다. 베어링에서 발생하는 파로 현상으로는 플레이킹(flaking), 스폴링(spalling) 등이 있으며, 베어링의 수명은 내륜, 외륜 및 보울에서 이러한 파로 현상이 최초로 발생할 때까지의 회전수나 주어진 회전속도에서 운전시간으로 표시한다. 본 논문에서는 베어링의 기본 설계 관점에서 전통적으로 널리 사용되는 Lundberg-Palmgren⁽¹⁾의 피로수명식을 이용하였다. Lundberg-Palmgren은 베어링의 파손원인을 접촉 표면하에서 구름 방향과 평행한 최대 전단응력으로 인해 파로 크랙이 발생하고, 이의 진전에 의해 접촉면에 파로파괴가 발생한다는 최대 전단 응력설을 제안하였다. 그리고 수많은 베어링 피로수명 실험과 통계적 기법을 이용한 Weibull⁽³⁾ 이론을 기초로 하여 베어링의 생존확률(S)을 가정하였다.

$$\ln \frac{1}{S} \propto \frac{\tau_o N^c}{z_o^h} V \quad (16)$$

여기서, τ_o 는 최대 전단응력, z_o 는 최대 전단응력이 작용하는 깊이, N 은 반복응력 수($\times 10^6$), V 는 응력을 받는 체적, c , h 는 실험 계수, e 는 Weibull 분포의 기울기이다. 식(16)로부터 90%의 베어링이 10^6 회전후 생존할 수 있는 하중의 개념으로 동정격하중(Q_c)이 정의되고, 수명(L)과 작용 하중(Q)과의 관계를 정리하면 다음과 같다.

$$QL^{(3e/c-h+2)} = Q_c \quad (17)$$

식(17)에서 계수 e , c , h 값은 각각 수많은 실험 결과로부터 도출된 $10/9$, $31/3$, $7/3$ 값이며, 이를 이용하여 ISO 281⁽⁶⁾에서 규정한 기본 정격 수명식은 다음과 같다.

$$L(\text{million rev.}) = \left(\frac{Q_c}{Q} \right)^3 \quad (18)$$

여기서, 기본 동정격하중(Q_c)은 베어링의 기하학적 형상을 이용한 접촉응력 해석을 단순화 하여 식(19)로부터 계산된다.

$$Q_c = 98.1 \left(\frac{2f_\xi}{2f_\xi - 1} \right)^{0.41} \frac{(1 \mp \gamma)^{1.39}}{(1 \pm \gamma)^{1/3}} \left(\frac{\gamma}{\cos \alpha} \right)^{0.3} D^{1.8} z^{-1/3} \quad (19)$$

여기서, $\gamma = D \cos \alpha / d_m$ 이며, ξ 는 i 또는 o 로서 각각 보울-내륜과 보울-외륜 접촉에 대한 것이다. 베어링에서는 각각의 볼에 작용하는 하중이 다르기 때문에, 수명을 계산할 때 각각의 전동체 하중으로부터 등가 하중을 계산해야 한다. 문헌⁽¹⁾에 의하면 점 접촉인 경우 3승 평균 하중이 실험 결과와 잘

일치한다고 보고되고 있다. 즉, 회전률인 내륜과 비회전률인 외륜에 대한 동등가하중(Q_{eq})은 식(20)~(21)로 계산된다.

$$Q_{eq} = \left(\frac{1}{z} \sum_{q=1}^z Q_{iq}^3 \right)^{1/3} \quad (20)$$

$$Q_{eo} = \left(\frac{1}{z} \sum_{q=1}^z Q_{eq}^{10/3} \right)^{3/10} \quad (21)$$

동정격하중과 동등가하중으로 부터 베어링의 피로수명은 식(22)~(23)로 구할 수 있으며, 볼베어링 전체수명은 확률의 곱셈 법칙에 의해 식(24)로 구할 수 있다.

$$L_i = \left(\frac{Q_{eq}}{Q_{ei}} \right)^3 \quad (22)$$

$$L_o = \left(\frac{Q_{eo}}{Q_{eo}} \right)^3 \quad (23)$$

$$L_{10} = (L_i^{-10/9} + L_o^{-10/9})^{-9/10} \quad (24)$$

여기서, L_i , L_o 는 각각 볼-내륜 및 볼-외륜 접촉에 대한 피로수명을 의미하고, L_{10} 은 90% 신뢰도를 갖는 베어링의 피로수명이다.

4. 베어링과 하우징의 진원도

베어링이 하우징에 얹지끼워맞춤 되었을 때 베어링 내륜 및 외륜 케도의 진원도는 하우징 내경의 진원도 영향을 고스란히 받게 된다. 본 논문에서 진원도의 측정과 진동 해석을 수행하기 위하여, 실제로 미국 B사에서 사용하는 트랜스퍼 케이스(Transfer Case)용 하우징에 베어링을 끼워맞춤하여 그에 따른 영향을 평가하였다. 베어링 외경 및 하우징 내경의 가공치수와 재질은 Table 1과 같다.

Table 1 Dimension and Material of each part

Bearing (6008 equivalent)		Housing	
Outer diameter	Material	Inner diameter	Material
$\varnothing 68^{+0}_{-0.012}$	STB2	$\varnothing 68^{-0.030}_{-0.080}$	Aluminum alloy

Fig. 2는 하우징 내경의 진원도 형상을 나타내며, Fig. 3 와 Fig. 4는 각각 장착 전,후의 베어링 내륜 케도와 외륜 케도의 진원도 형상을 보여주고 있다. 베어링이 하우징에 장착된 후의 변화된 진원도는 약 10배 정도 크게 나타났으며, 이는 Table 2에서 보여주고 있다. 여기서, 하우징의 진원도에 따라

베어링 외륜 케도와 더불어 내륜 케도에도 영향을 끼침을 확인할 수 있다.

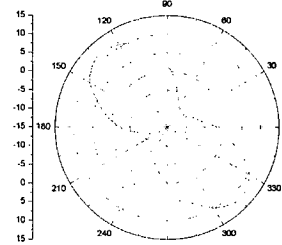


Fig. 2 Roundness of housing inner diameter

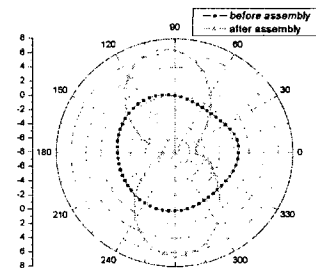


Fig. 3 Roundness of bearing inner raceway

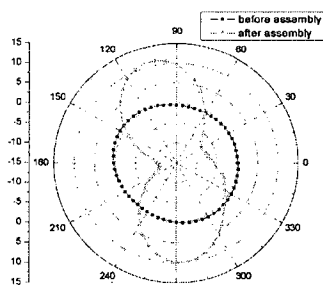


Fig. 4 Roundness of bearing outer raceway

Table 2 Roundness of each part

	Roundness of Each Part [μm]		
	Inner raceway	Outer raceway	Inner diameter of housing
Before assembly	1.42	1.98	21.69
After assembly	13.78	23.94	

5. 진원도 형상의 수학적 모델

실제로 볼베어링의 케도률은 진원상태가 아니라, 제조상의 결함이라 볼 수 있는 진원도 형상과 상응하는 waviness를 갖고 있다. 이는 케도부의 연마과정에서 회전면의 불균일성과 기계요소의 진동

에 의해서 주로 발생한다. 베어링 궤도가 본래 갖고 있는 진원도 형상과 더불어 하우징에 장착되었을 때 변형되는 진원도 형상에 대한 수학적 모델의 표현은 정현(sine) 및 여현(cosine) 함수를 중첩하여 표현할 수 있다. 즉, 측정된 waviness 형상을 수치적 방법에 통해 waviness의 차수별 크기와 위상을 도출할 수 있다. Table 3은 베어링이 하우징에 장착되기 전, 후의 waviness에 대해서, 차수별 크기와 위상을 13차까지 해석한 값이다.

Table 3 Waviness component values obtained numerical solution for Fourier coefficient

Waviness order	Inner Raceway		Outer Raceway	
	Before assembly (After assembly)		Before assembly (After assembly)	
	Amplitude (μm)	Phase (degree)	Amplitude (μm)	Phase (degree)
0	0.031 (0.362)	-	0.027 (0.243)	-
1	0.010 (0.093)	-74.5 (-60.4)	0.012 (0.227)	-59.4 (-69.5)
2	0.168 (6.123)	-23.2 (67.3)	0.749 (9.628)	-34.1 (54.9)
3	0.416 (0.634)	59.8 (76.4)	0.232 (2.043)	-42.0 (72.3)
4	0.152 (0.296)	45.7 (81.8)	0.059 (0.761)	-81.2 (66.5)
5	0.052 (0.090)	26.2 (-71.5)	0.027 (0.168)	35.8 (65.5)
6	0.018 (0.055)	-10.7 (-10.2)	0.022 (0.036)	0.2 (36.8)
7	0.010 (0.062)	-71.5 (12.8)	0.017 (0.092)	-17.3 (46.3)
8	0.010 (0.062)	69.8 (16.8)	0.014 (0.099)	-29.0 (44.4)
9	0.010 (0.058)	49.2 (15.7)	0.011 (0.089)	-38.1 (42.1)
10	0.009 (0.051)	34.6 (12.6)	0.009 (0.074)	-45.9 (40.4)
11	0.008 (0.045)	22.2 (8.5)	0.007 (0.060)	-53.0 (40.0)
12	0.007 (0.039)	10.8 (3.8)	0.006 (0.048)	-59.4 (41.0)
13	0.006 (0.034)	0.1 (-1.2)	0.005 (0.038)	-65.3 (44.2)

1967년 Yhland⁽³⁾로부터, waviness order에 따라 발생되는 비반복적인 진동성분들에 관한 많은 연구 결과들이 보고된 바 있다. Table 4는 그동안의 선행 연구에서 밝혀진 waviness 차수에 따라 발생되는 비반복적 진동성분들이다. 이러한 진동 성분들은 waviness 차수와 베어링 부품의 회전속도와 관계가 있음을 보여준다. 여기서 f_c 는 케이지의 회전속도로서 34.7Hz로 계산되어지고, f_r 과 j 는 각각 내륜의 회전속도와 양의 정수를 의미한다.

Table 4 Relationship between waviness order and vibration frequencies

Parts	Waviness order	Vibration frequencies	Direction of motion
Outer raceway	$jZ \pm 1$	jZf_c	Radial
	jZ	jZf_c	Axial
Inner raceway	1	f_r	Radial
	$jZ \pm 1$	$jZ(f_r - f_c) \pm f_r$	Radial
	jZ	$jZ(f_r - f_c)$	Axial

6. 볼 베어링의 진동 및 피로수명

6.1 볼 베어링의 제원

진동해석을 수행하기 위한 볼 베어링의 제원과 수명해석을 실시하기 위한 하중조건은 Table 5에서 보여준다. 실제로 베어링의 작용하중은 변속기의 단수에 따라 하중조건이 변하지만, 본 논문에서는 해석의 용이함을 위하여, 베어링의 동정격하중의 20%를 축방향 하중으로 간주하고, 축방향 하중의 약 80%를 경방향 하중에 적용하여 해석을 실시하였다. 또한 베어링 궤도의 waviness 영향만을 고려하고자, 모든 볼은 이상적인 진구로 가정하였다.

Table 5 Specification of the ball bearing

Parameter	Value
Ball diameter	D (mm)
Number of balls	Z
Pitch diameter	d_m (mm)
Curvature ratio of IRW	f_i
Curvature ratio of ORW	f_o
Rotating speed	f_r (Hz)
Axial load	F_z (N)
Radial load	F_x (N)

6.2 내륜 궤도의 waviness에 의한 진동

내륜 궤도에 진원도 형상을 고려한 waviness를 적용하여 해석하면 내륜이 회전하는 시간에 따라 내륜은 진동하게 된다. Fig. 5와 Fig. 6은 각각 하우징에 베어링을 장착하기 전, 후의 경방향 및 축방향 주파수 영역의 진동을 나타낸다. Fig. 5에서 f_r 에 해당하는 80Hz 성분은 내륜의 회전 속도에 해당하는 진동 성분으로서, 회전체의 불균형 질량에 의해서 대부분 발생되지만 1차의 waviness 성분에 의해서도 발생함을 보여준다. 그리고 f_r 의 조화성분인 $2f_r$ 이 지배적으로 나타나고 이후의 조화성분들은 작게 나타난다. 또한 11차 및 13차 waviness로 인해 $Z(f_r - f_c) \pm f_r$ 에 해당하는

463Hz, 623Hz의 경방향 진동 성분이 발생한다. Fig. 6에서도 f_r 에 해당하는 80Hz 성분이 작게 발생하며, 조화성분인 $2f_r$ 성분이 비교적 크게 존재 한다. 또한 12차 waviness로 인해 $Z(f_r, -f_c)$ 에 해당하는 543Hz의 축방향 진동 성분이 발생한다. 이상의 진동 성분들은 Table 4에서 규명된 진동성분과 동일하게, 베어링의 회전속도 f_r 의 조화성분은 베어링의 1차 waviness와 더불어 경방향 하중에 기인하여 베어링 본래의 회전 중심이 편향(offset)되어 회전함으로서 발생되어진다⁽⁴⁾. 그리고 베어링을 하우징에 끼워맞춤 하기 전, 후의 베어링에 대한 진동해석 결과를 살펴보면 장착후의 진동이 장착 전보다 약 20배 정도 크게 나타났다.

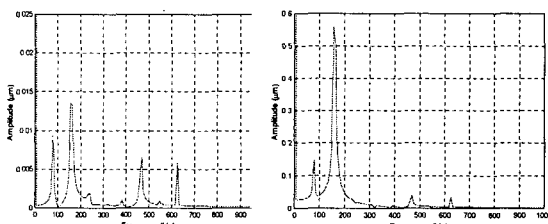


Fig. 5 Radial frequency signal before(left) and after(right) assembly due to inner race waviness

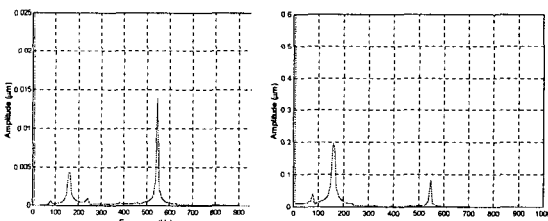


Fig. 6 Axial frequency signal before(left) and after(right) assembly due to inner race waviness

6.3 외륜 케도의 waviness에 의한 진동

내륜 케도에 waviness를 적용하여 해석한 방법과 동일하게 외륜 케도에 waviness를 적용하여 베어링 단품의 진동해석을 수행하면 Fig. 7과 Fig. 8 과 같다. Table 4에서 나타난 waviness 차수에 따라 발생되는 진동성분들을 살펴보면, Fig. 7에서 11차 및 13차 waviness로 인해 Zf_c 에 해당하는 416Hz의 경방향 진동이 발생하며, Fig. 8에서 12차 waviness로 인해 Zf_c 에 해당하는 416Hz의 축방향

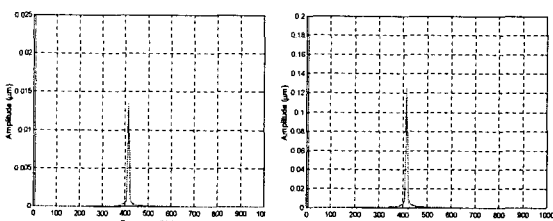


Fig. 7 Radial frequency signal before(left) and after(right) assembly due to outer race waviness

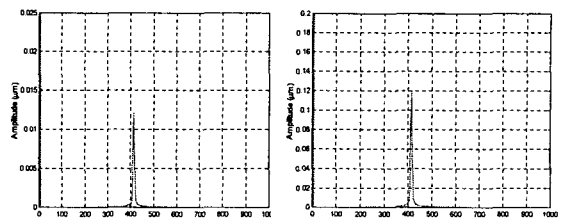


Fig. 8 Axial frequency signal before(left) and after(right) assembly due to outer race waviness

은 장착후 베어링 진동이 장착전보다 약 9배 정도 증가함을 확인할 수 있다.

6.4 볼 베어링의 피로수명

베어링 케도류가 이상적인 진원이 아니라 waviness가 내재되었을 경우를 고려한 90% 신뢰도를 갖는 이론적인 베어링의 피로수명 L_{10} 은 3절과 같은 방식으로 계산되어진다. Fig. 9는 베어링이 하우징에 장착되기 전, 후의 베어링 단품에 대한 이론적인 L_{10} 수명으로서, 횡축은 시간을 의미하고, 종축은 베어링의 수명에 해당하는 회전수(백만회전)를 의미한다. 여기서 시간과 회전수라 함은 베어링이 시간의 함수로 회전할 때 진원도 형상의 위치에 따라 보울 및 케도에서 받는 하중조건은 달라진다. 즉, 진원도의 굴곡이 심한 부분에서는 그만큼 진동이 크고, 수명 감소를 초래하게 된다. 만약에 베어링의 모든 구성요소가 이상적인 진원이라 가정하고, Table 5에 제시된 하중조건을 베어링에 적용하여 L_{10} 수명을 계산하면 약 47×10^6 이 산출된다. 하지만, 베어링 케도에 waviness를 적용하여 장착전의 조건에서 수명을 계산하면 Fig. 9의 좌측에 있는 그래프와 같이 수명이 약 46×10^6 회전수를 보이고, 하우징에 장착된 조건에서 수명을 산출하면 우측의 그래프와 같이 약 22.5×10^6 회전수의 수명이 산출된다. 즉, 베어링이 하우징에 장착 되었을 때 하우징 내경 진원도의 영향을 받아 베어링 진동의 증가와 더불어 베어링의 수명이 50% 정도 감소하고 있음을 보여준다.

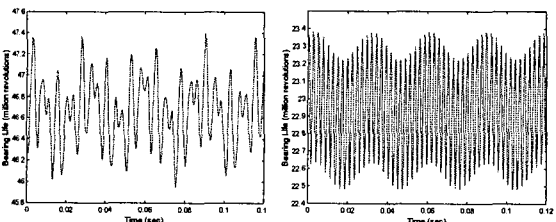


Fig. 9 Bearing L_{10} Life before(left) and after(right) assembly into housing

일반적으로 베어링의 실제 L_{10} 수명은 이론적인 수명보다 수배 이상의 영역에 속해 있다. 이는 베어링 재료의 발달과 더불어 베어링의 가공정밀도의 영향을 받고 있지만, 주변 부품들의 정밀 가공에 대한 부분이 충족되

어지지 않는다면, 보다 정밀한 축 시스템에서의 소음 및 진동은 상기와 같이 불가피하게 된다.

7. 결 론

본 논문에서는 베어링의 단품상태에서 궤도률의 waviness를 고려하여 베어링의 진동 및 피로 수명의 영향을 평가하였으며, 이와 더불어 베어링이 하우징에 얹지 끼워맞춤 되었을 때 베어링에 끼치는 진동 및 피로 수명의 영향을 분석하였다.

(1) 볼베어링 궤도와 하우징 내경에서 측정된 진원도를 수학적 모델이 가능하도록 waviness order에 따른 크기와 위상을 도출하였으며, 진동 및 피로수명을 예측하기 위한 3자유도 진동 해석 프로그램을 개발하였다.

(2) 베어링보다 가공정밀도가 낮은 하우징에 베어링을 얹지 끼워맞춤 하였을 때 베어링에서 발생되는 경방향 진동은 끼워맞춤 전의 단품상태의 진동보다 약 20배가 증가하였으며, 축방향 진동은 약 9배 정도 증가하였다. 이것은 정밀한 회전정밀도를 요구하는 축 시스템에서는 축 및 하우징의 가공정밀도를 고려해야 하는 중요한 요인이 된다.

(3) 베어링의 진동증가와 더불어 베어링의 이론적인 L_{10} 피로수명은 베어링을 하우징에 장착 후에 50% 정도 피로수명이 감소하였다. 이는 하우징 내경의 가공 정밀도와 끼워맞춤 되는 양을 결정하는 공차범위 및 하우징의 재질에 따라 베어링의 피로수명은 더욱더 감소되어질 수 있는 요인이 된다.

참 고 문 현

- (1) Lundberg, G. and Palmgren, A.K 1947, "Dynamic Capacity of Rolling Bearings", ACTA POLYTECHNICA, Mechanical Engineering Series 1, Royal Swedish Academy of Engineering Science, No.3, Vol. 7
- (2) Weibull, W., 1956, "Scatter of Fatigue Life and Fatigue Strength in Aircraft Structure Materials and Parts", Fatigue in Aircraft Structure, N.Y., Academic Press, pp.126~145.
- (3) E. M. Yhland, 1967, "Waviness Measurement-An Instrument for Quality Control in Rolling Bearing Industry", Proc. IMechE, Vol. 182, Part 3K. pp. 438~445
- (4) E. Yhland, 1992, "A Linear Theory of Vibrations Caused by Ball Bearings with Form Errors Operating at Moderate Speed", ASME, J. of Tribology, Apr, Vol.114, pp.348~359.
- (5) Harris, T.A., 1991, Rolling Bearing Analysis, 3rd Ed., John Wiley & Sons, INC.
- (6) ISO, 1985, "Explanatory note on ISO 281/1-1977", Technical Report 8646.
- (7) Ono,K. and Takahasi,K., 1996, "Theoretical Analysis of Shaft Vibration Supported by a Ball Bearing with Small Sinusoidal Waviness", IEEE Trans. on Magnetics, Vol.32, No.3, pp.1709~1714.
- (8) Ono,K. and Takahasi,K., 1996, "Theoretical Analysis of Shaft Vibration Supported by a Ball Bearing with Small Sinusoidal Waviness", IEEE Trans. on Magnetics, Vol.32, No.3, pp.1709~1714.
- (9) Akturk,N., Uneeb,M., and Gohar,R., 1997, "The Effects of Number of Balls and Preload on Vibrations Associated with Ball Bearings", ASME, J. of Tribology, Vol.119, pp.747~753.
- (10) Akturk,N., 1999, "The Effects of Number of Balls and Preload on Vibrations Associated with Ball Bearings", ASME, J. of Tribology, Vol.121, pp.667~677.
- (11) 정성원, 장건희, 2001, "구름요소의 Waviness를 고려한 볼베어링 해석이론" 한국소음진동공학회논문집 제 11 권 제 7호. pp.275~286.
- (12) FAG 베어링코리아(유), 1999, 구름베어링 카탈로그 WL 41 520/2 KA.
- (13) 김영철, 최상규, 윤기찬, 2001, "기하학적 형상오차를 갖는 정보저장기기용 볼베어링의 NRRO 해석", 한국소음진동공학회 추계학술대회논문집, pp.810~816.
- (14) 이영근, 최상규, 윤기찬, 이영신 2003, "실측형상오차를 이용한 3.5인치 HDD 스픈들 볼베어링의 NRRO 해석", 한국소음진동공학회 춘계학술대회논문집, pp. 585~591.
- (15) Y.K.Lee and S.K.Chi, 2003, "Analysis of NRRO for Outer Ring Rotation Ball Bearings of 3.5 inch HDD Spindle Motors", Inter-Noise, N296.
- (16) 윤기찬, 2000, "유전 알고리듬을 이용한 응용분야 기반 전용 볼 베어링의 설계방법" 박사학위 논문, 한양대학교.
- (17) 이영근, 2003, "3.5인치 HDD Spindle Motor에 사용되는 외륜 회전형 볼베어링의 NRRO 해석", 석사학위논문, 충남대학교.